

アンカーボルトを碇着した鉄筋コンクリート支承部の 強度と設計方法

中央大学 正員 西沢紀昭

§1 コンクリート支承中に埋込んだアンカーボルトとその周辺のコンクリートの強度および補強に関する実験を行なった。降伏応力度 30 kg/mm^2 のアンカーボルト (SS41) $\phi 38 \text{ mm}$, $\phi 32 \text{ mm}$ および $\phi 25 \text{ mm}$ を、圧縮強度が $250 \sim 400 \text{ kg/cm}^2$ のコンクリートあるいは箱抜きモルタルによって碇着し、これと直角に荷重 P をボルトの頭部に加えて (図1, 2), ボルト, コンクリートおよび補強鉄筋の歪の測定, 破壊状態の観察などを行なった。

§2 供試体はアンカーボルトが鉛直とまようにコンクリート (スランプ 3~5cm) を打込んで造つた。箱抜きの場合にはその翌日モルタル (フロー 180mm) をボルトのまわりにつめた。ボルトの頭部にシュー・プレートに相当する鋼板 ($120 \times 120 \times 25 \text{ mm}$) を通し、ナットでこれを締め、鋼板の側面に荷重 P を作用させた。鋼板とコンクリート面との間にテフロンシートをはさみ、摩擦を小さくした。

§3 荷重 P を増して行くと、ボルトの曲げ歪とコンクリートの表面歪が増大し (図3), ボルトの近傍のコンクリートあるいはモルタルにひびわれが発生するのか認められた。これらのひびわれは荷重の増大とともに放射線上に伸長し、またボルトに接するコンクリートあるいはモルタルが圧壊し剥離するか観察された。鉄筋 (D13) によってボルトの周辺を井形に補強した場合には、その歪も荷重とともに増大した (図11, 12)。載荷の途中ボルト、補強鉄筋あるいはコンクリートの歪が急変するときの荷重を P_f とし、破壊荷重と名づけた。(図3) これは、二つときボルトあるいは鉄筋が部分的に降伏したが、あるいはコンクリートの一部が圧壊したと判断されたからである。荷重 P_f もはや増進しない、つまり載荷を行ない、二つときの荷重を最大荷重 P_m とし、二つとき碇着部が全体的に破壊したと考えた。

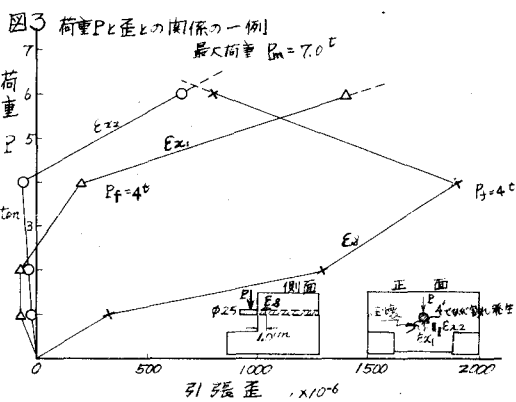
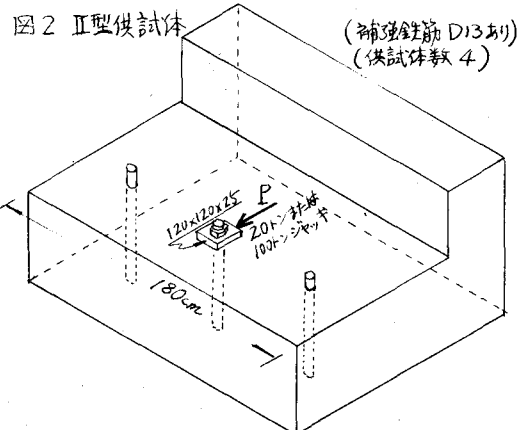
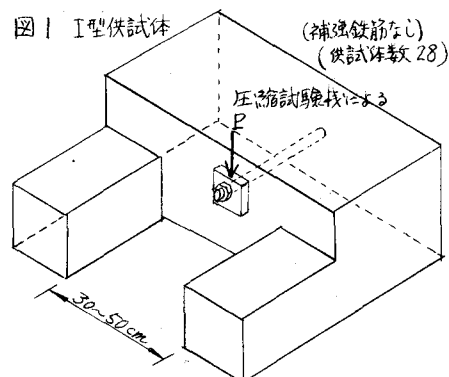


図4は補強鉄筋を配置しない場合の P_f と P_m との関係を示したものである。 P_f は $\phi 38mm$ ボルトの場合平均 $10t$, $\phi 32mm$ の場合 $9t$, $\phi 25mm$ の場合 $5t$ 程度であった。補強鉄筋のある場合は、 P_f と P_m とはいずれも補強のない場合より $20\sim50\%$ 大きくなり、補強の効果が認められた。これらの荷重は $\phi 38mm$ の場合 $P_f=15t$, $P_m=33t$, $\phi 32mm$ の場合 $P_f=11t$, $P_m=26t$, $\phi 25mm$ の場合 $P_f=7t$, $P_m=13.5t$ であった。 $\phi 32mm$ と $\phi 25mm$ の場合の P_m はボルトの頭部がせん断によって破断したときの荷重であって、そのときのせん断強度はいずれの場合も $C=3300kg/cm^2$ であった。 $\phi 38mm$ の場合 P_m とそのボルトのせん断応力度は $2900kg/cm^2$ であった。

§4 図5, 6から接着部の強度は、補強鉄筋がない場合、コンクリートあるいはモルタルの圧縮強度にあまり影響を受けないことが認められる。実際に普通用ハシケでモルタルの圧縮強度 $300kg/cm^2$ 前後でコンクリートあるいはモルタルによって改善したアンカー部の強度は、これらの圧縮強度の大小によらず一定であるとしてよいようである。

§5 図7, 8はボルトに貼ったワイヤ巻ケージにより測定した荷重側の継維歪の分布の例である。その分布は荷重が比較的小さいときは、図9(A)の状態であり、荷重が増大するにつれて歪が認められ(B)の状態となる。 x_1 は接着部が全体破壊に近づいたとき必要なボルト埋込み長と考える。

図6 破壊時の荷重と箱抜きモルタルの圧縮強度との関係
(補強鉄筋のない場合)

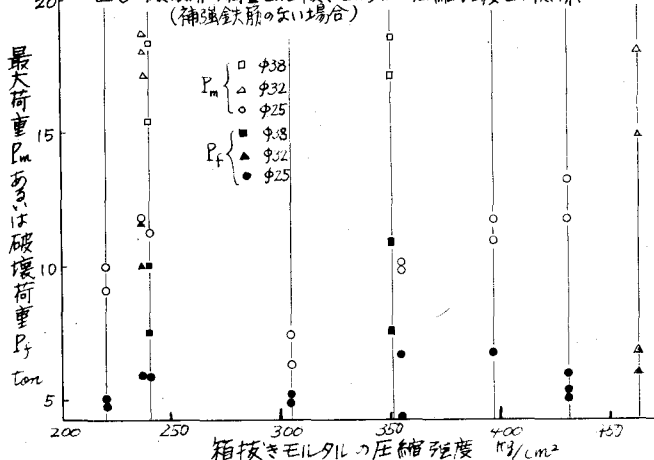


図4 破壊荷重 P_f と最大荷重 P_m との関係
(補強鉄筋のない場合)

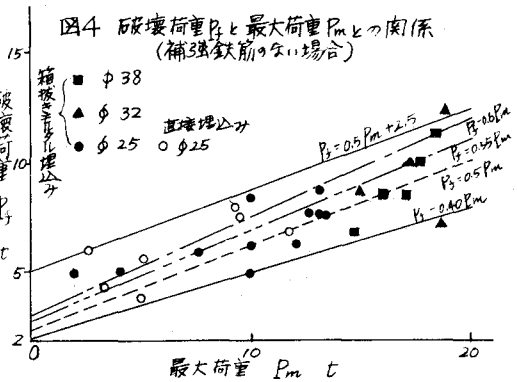


図5 破壊時の荷重とコンクリートの圧縮強度との関係
(補強鉄筋のない場合)

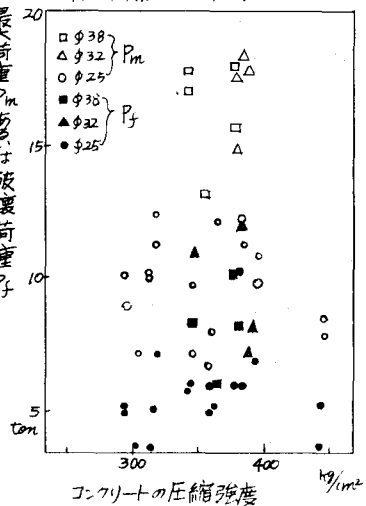
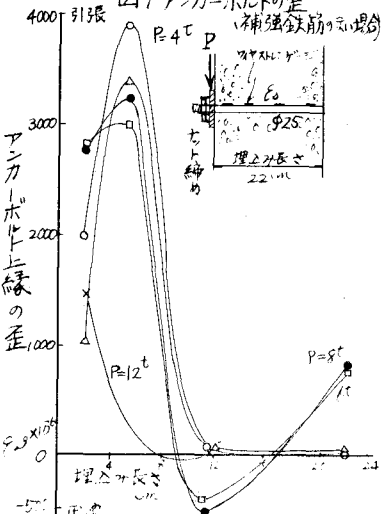


図7 アンカーボルトの歪
(補強鉄筋のない場合)



とがべき、 $\phi 38\text{mm}$, $\phi 32\text{mm}$ および $\phi 25\text{mm}$ の場合、その長さはそれぞれ 10ϕ , 8ϕ および 7ϕ であった。荷重が比較的小さいときの埋込み長 (A 図の x_0) は $x_1 \approx 60\sim 80\%$ であった。鉄筋の強度によらず、これら埋込み長は小さくなり、それが基のアンカーボルトの場合も、 $x_1 \approx 6\sim 7\phi$, $x_0 \approx 3\sim 4\phi$ であった。

図 9(A) の荷重条件を仮定して、コンクリートの支圧応力度 σ_c' 、アンカーボルトの曲げ引張応力度 σ_s および荷重 P の関係を、つきのようにして求めた。

$$M_m = -(C - P)(x_0 - x_m) + \frac{C}{3l_2^2}(l_2 - x_m)^3 \quad \dots \dots (1)$$

$$x_m = l_2 \left\{ 1 - \sqrt{\frac{1}{3l_2}(l_2 + 3l_1)} \right\} \quad \dots \dots (2)$$

ここで x_0 は実験結果から求めた、 $\phi 38\text{mm}$, $\phi 32\text{mm}$ および $\phi 25\text{mm}$ の場合、それぞれ $x_m = 8\text{cm}$, 5cm および 2cm , $x_0 = 26\text{cm}$, 21cm および 10cm を式に代入し、さらに l_1 (= シューフレートの厚さ 25mm) $\times \frac{1}{2} \approx 1.3\text{cm}$ とした。 $C = \frac{1}{2} \sigma_c' l_2 D$ $\dots \dots (3)$, $M_m = \sigma_s Z = E_s \varepsilon_m \frac{\pi}{32} D^3$ $\dots \dots (4)$ とした。ここで D : ボルトの直径, cm , $E_s = 2 \times 10^6 \text{kg/cm}^2$, ε_m として実験値を用い、(1)～(4) 式を解いた結果が図 10 である。これによると、破壊部の破壊は、補強鉄筋のない場合、ボルトの一部が降伏応力度 3000kg/cm^2 に達するところによって始まるとして見てよいようである。このときの荷重は P (± 3) に相当するところが認められる。 $\phi 25\text{mm}$ ボルトの場合、 σ_s が 3000kg/cm^2 に達するところが先立つて、コンクリートの支圧応力度 σ_c' が支圧強度 ($\approx 1000\text{kg/cm}^2$) に達するところが先立つて、コンクリートの支圧応力度 σ_c' が支圧強度 ($\approx 1000\text{kg/cm}^2$) に達する。

図 9 アンカーボルトに対する荷重条件の仮定
(A) 荷重 P が小さい場合 (B) 荷重 P が大きい場合

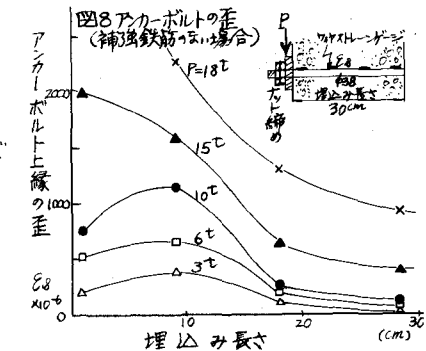
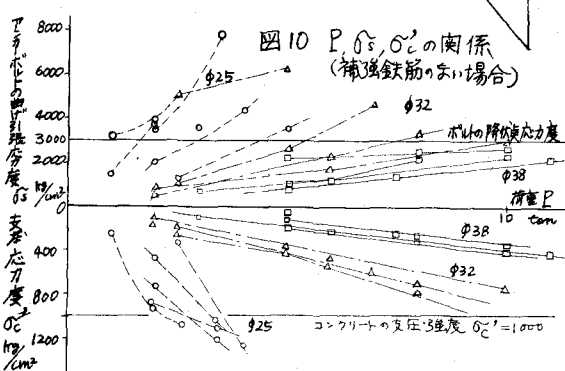
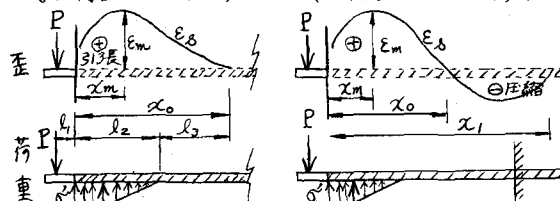
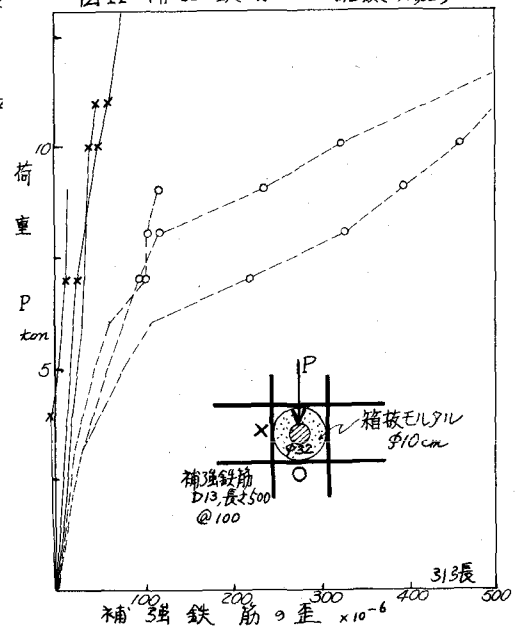


図 11 補強鉄筋の歪(箱抜きの場合)



でいることがあり、二のことは $\phi 25\text{mm}$ の場合コンクリートの圧壊がいちじろしかったことと一致していた。一方、 $\phi 38\text{mm}$ の場合、 P_f のときコンクリートの支圧応力度は 500kg/cm^2 程度であって、圧壊に対してかなりの余裕のあることが認められた。

補強鉄筋がある場合はその拘束によって荷重条件は図9(A)と異なっているが、上記と同様に計算すると、 P_f に比べてかなり小さい荷重、すなわち $\phi 38\text{mm}$ の場合 $5 \sim 8t$ 、 $\phi 32\text{mm}$ の場合 $4 \sim 5t$ 、 $\phi 25\text{mm}$ の場合 $1.5 \sim 3.5t$ で $\sigma_c' = 0.3 = 3000\text{kg/cm}^2$ 、 $\sigma_c' \geq 1000\text{kg/cm}^2$ に達して止むことが認められる。これは補強鉄筋の効果によって、ボルトの頭部の近く近い部分のみが急激に曲がるためと思われる。この場合、このときの荷重と P_f とすべきではなく、図7に述べるように、補強鉄筋の歪およびボルト頭部の変位の実験結果から判断して P_f をきめるべきであると思われる。

§7 図11, 12の補強鉄筋の歪から判断して、補強鉄筋がアンカーボルトから $0 \sim 2\text{cm}$ の位置にあるときは、補強の効果が大きいが、5cm離れて

ている箱抜きの場合その効果は少ない。このことは、後者の場合の P_f 、 P_m が補強鉄筋のない場合と同程度であったことからも云えどと思われる。補強鉄筋のうち、荷重と直角に配置したもののが一般に大きく、 $\phi 38\text{mm}$ のとき平行もとの歪の方が大きい場合もあった。これらの歪が 500×10^{-6} をこえ、その近辺のコンクリートにひびわれが生じるとときの荷重が P_f に相当するとしてよいようである。こゝとボルト頭部の変位(図13)は、 $2 \sim 3\text{mm}$ であって、太いボルトほどその変位が大きかった。 $P_f \rightarrow 0$ としだとき残留変位は $1 \sim 2\text{mm}$ で十分に小さかった。

§8 (1)補強しない場合と箱抜きの場合、アンカーボルトが降伏するときの荷重 P_f を設計荷重 P_1 とする。 安全率は3倍である。(2)補強鉄筋をボルトから 2cm 以外に井形に配置したとき、ボルトのせん断強度 ton の $1/2$ を設計荷重 P_2 とする。

(3) $P_2 = (1.2 \sim 1.5) \times P_1$ である。

図12 補強鉄筋の歪(直接埋込みの場合)

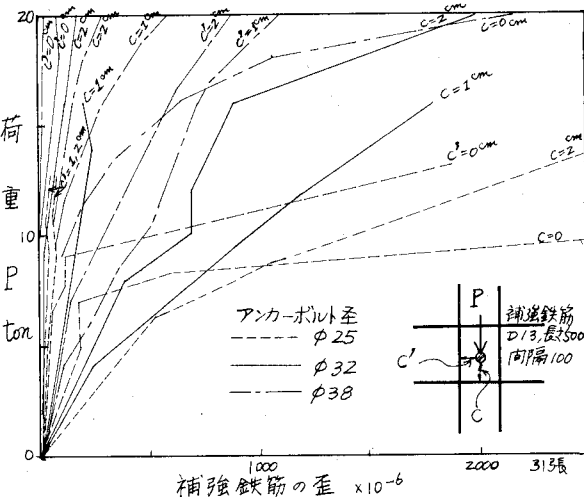


図13 アンカーボルト頭部の変位

